

図1 (334) Chicago 2017年12月21日 15h14m28s UT DAMIT Model 4269 ($\lambda = 21$ 、 $\beta = +20$) ※1
 $P = 294^\circ$ 、 $\beta_e = -13^\circ$ 、 $\lambda_e = -158^\circ$ 、Scale Factor 1:143.3、 $k = 1.000$ 、 $B = 123.52^\circ$

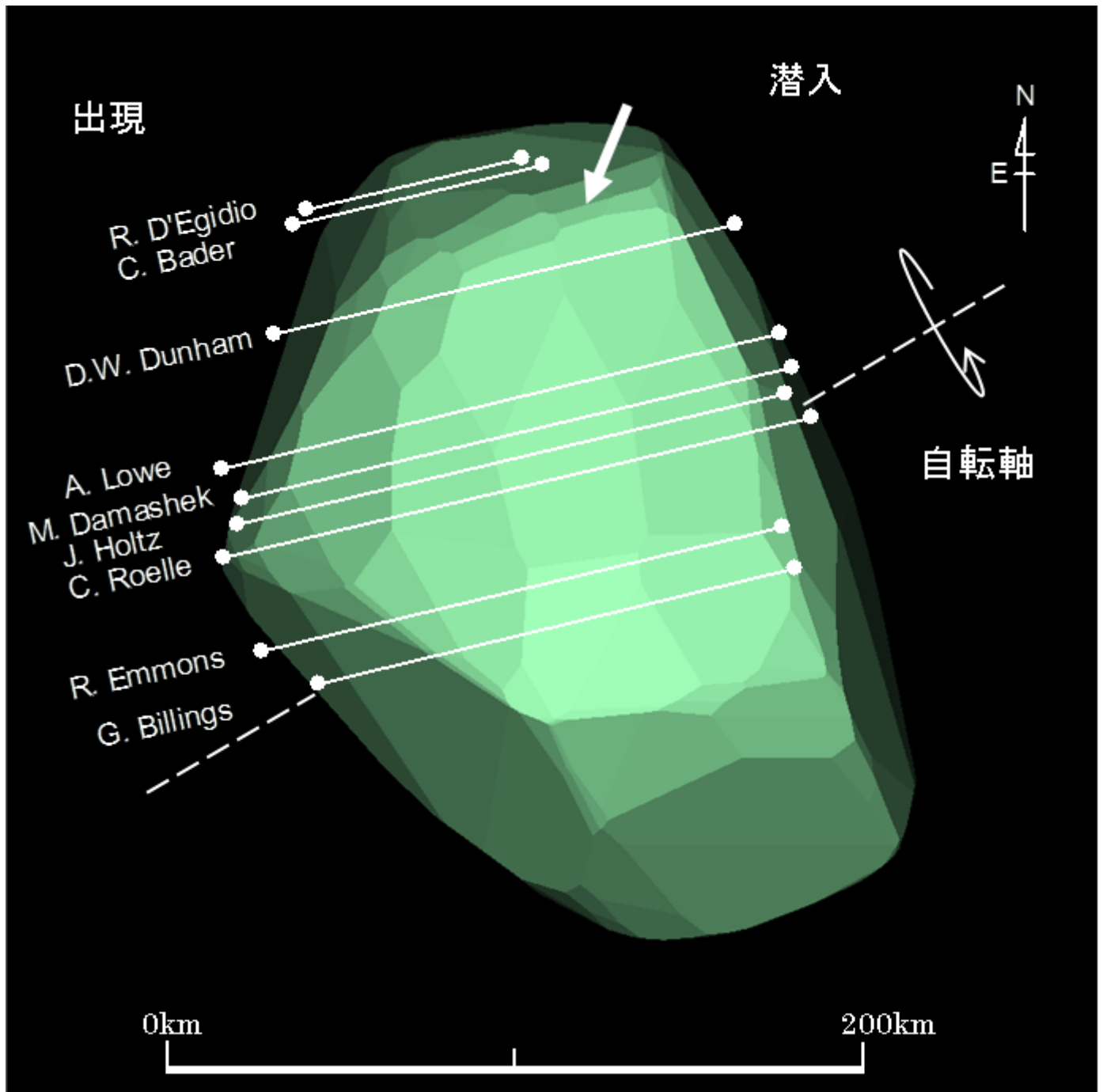


図2 (334) Chicago 2002年12月24日 9h59m22s UT DAMIT Model 4269 ($\lambda = 21$ 、 $\beta = +20$) $\times 1$
 $P = 201^\circ$ 、 $\beta_e = +6^\circ$ 、 $\lambda_e = -130^\circ$ 、Scale Factor 1: 154.0、 $k = 0.997$ 、 $B = 105.4^\circ$

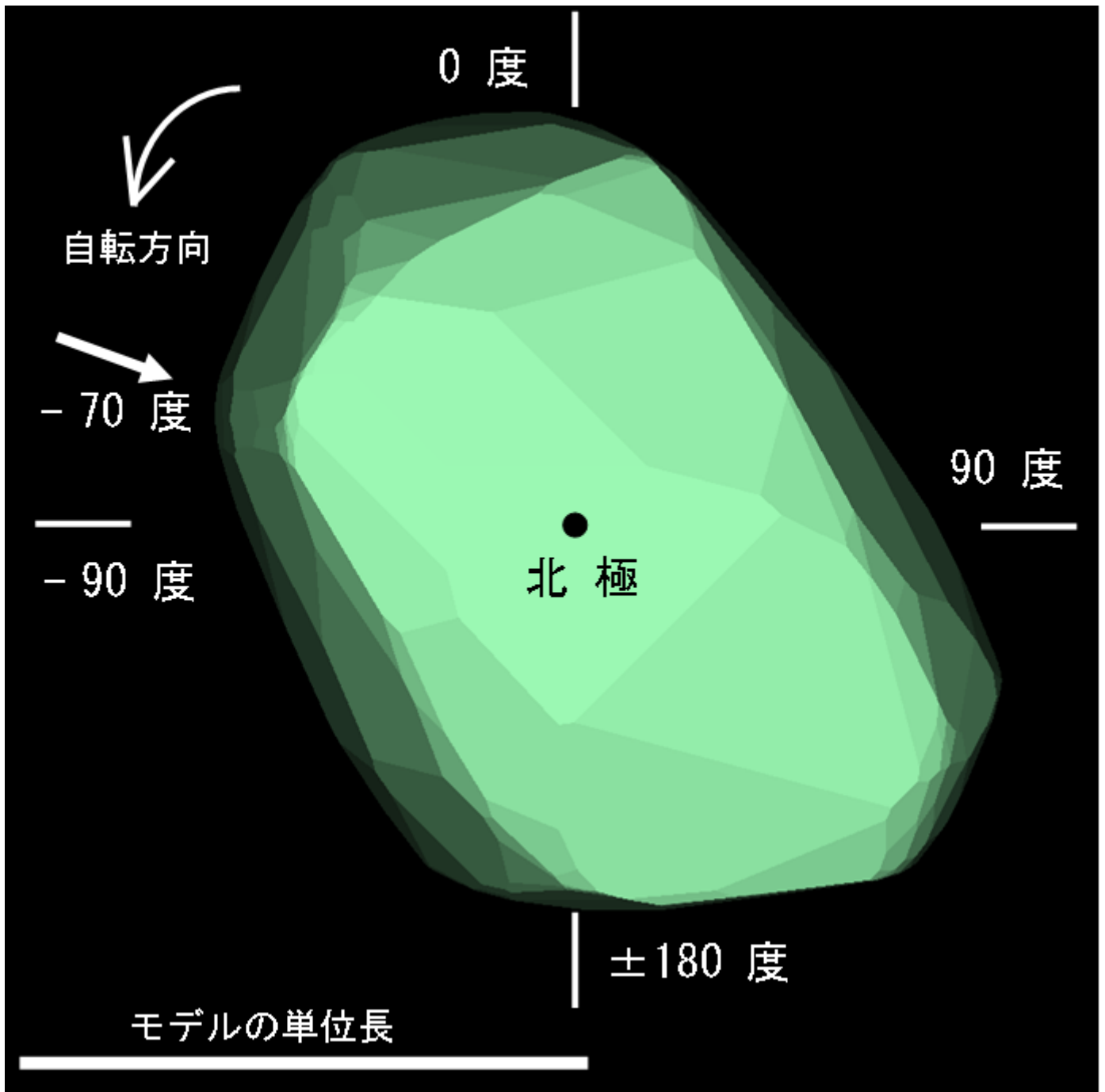


図3 北極側から見た(334)Chicago モデルとモデルの単位長※1
 自転の方向は地球と同様に左回り。西経を正とする。

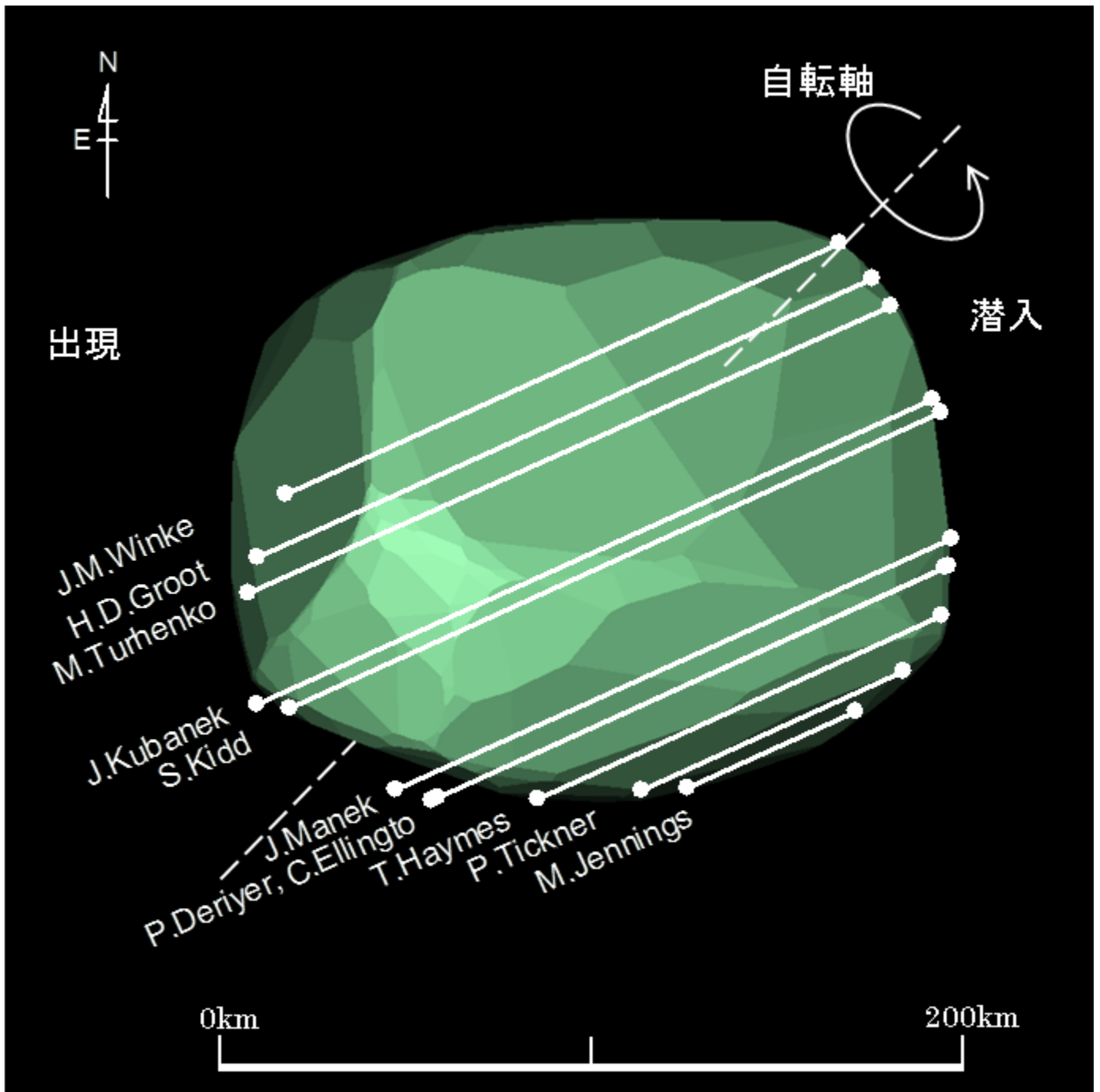


図4 (319) Chicago 2019年2月12日 21h13m28s UT DAMIT Model 4269 ($\lambda = 21$ 、 $\beta = +20$)※1
 $P = 315^\circ$ 、 $\beta_e = +32^\circ$ 、 $\lambda_e = +117^\circ$ 、Scale Factor 1: 143.6、 $k = 0.997$ 、 $B = 78.2^\circ$

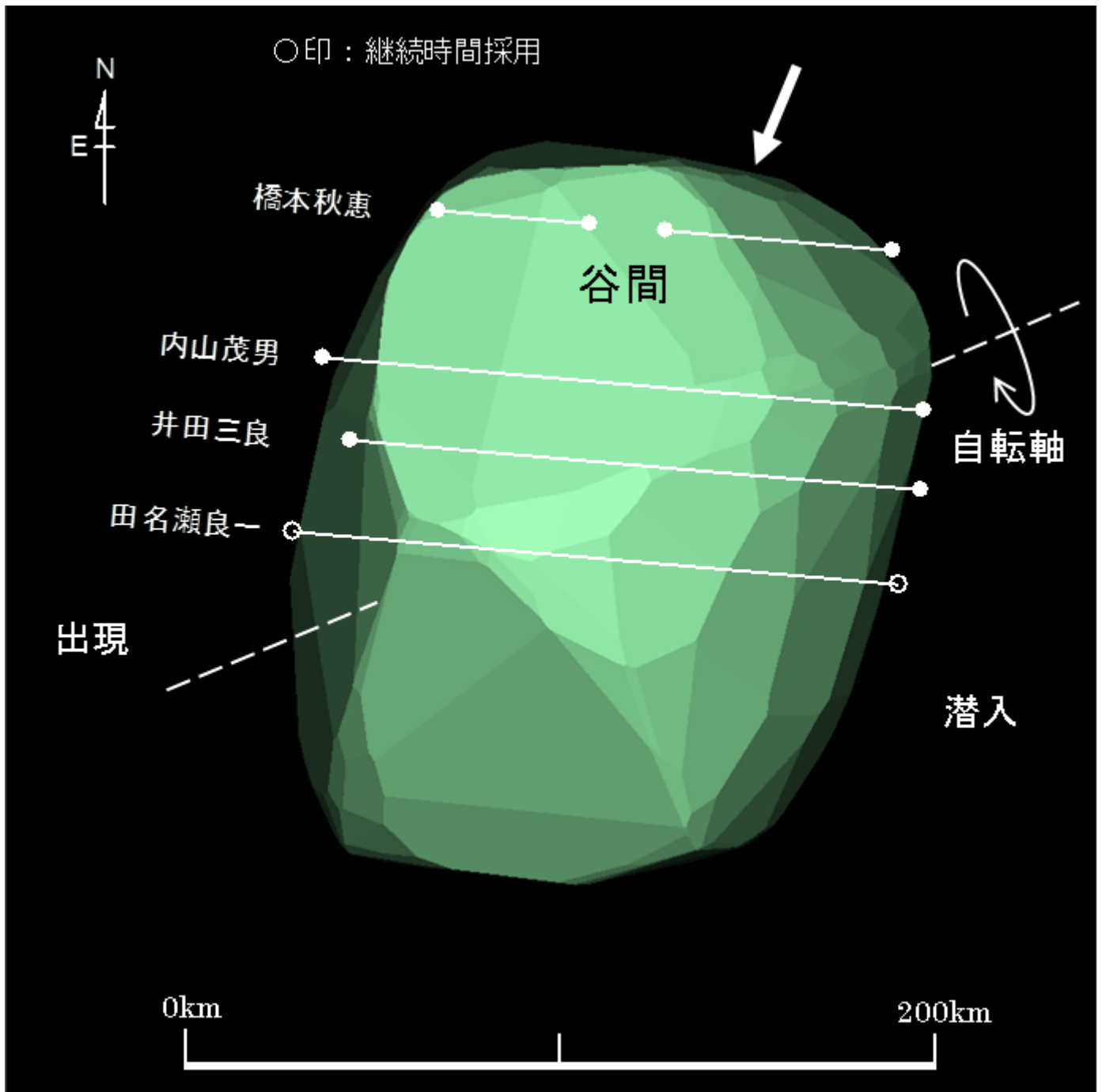


図5 (334) Chicago 2001年12月16日 12h32m02s UT DAMIT Model 4269 ($\lambda = 21$ 、 $\beta = +20$)※1
 $P = 293^\circ$ 、 $\beta_e = -44^\circ$ 、 $\lambda_e = -78^\circ$ 、Scale Factor 1: 143.3、 $k = 0.997$ 、 $B = 246.3^\circ$

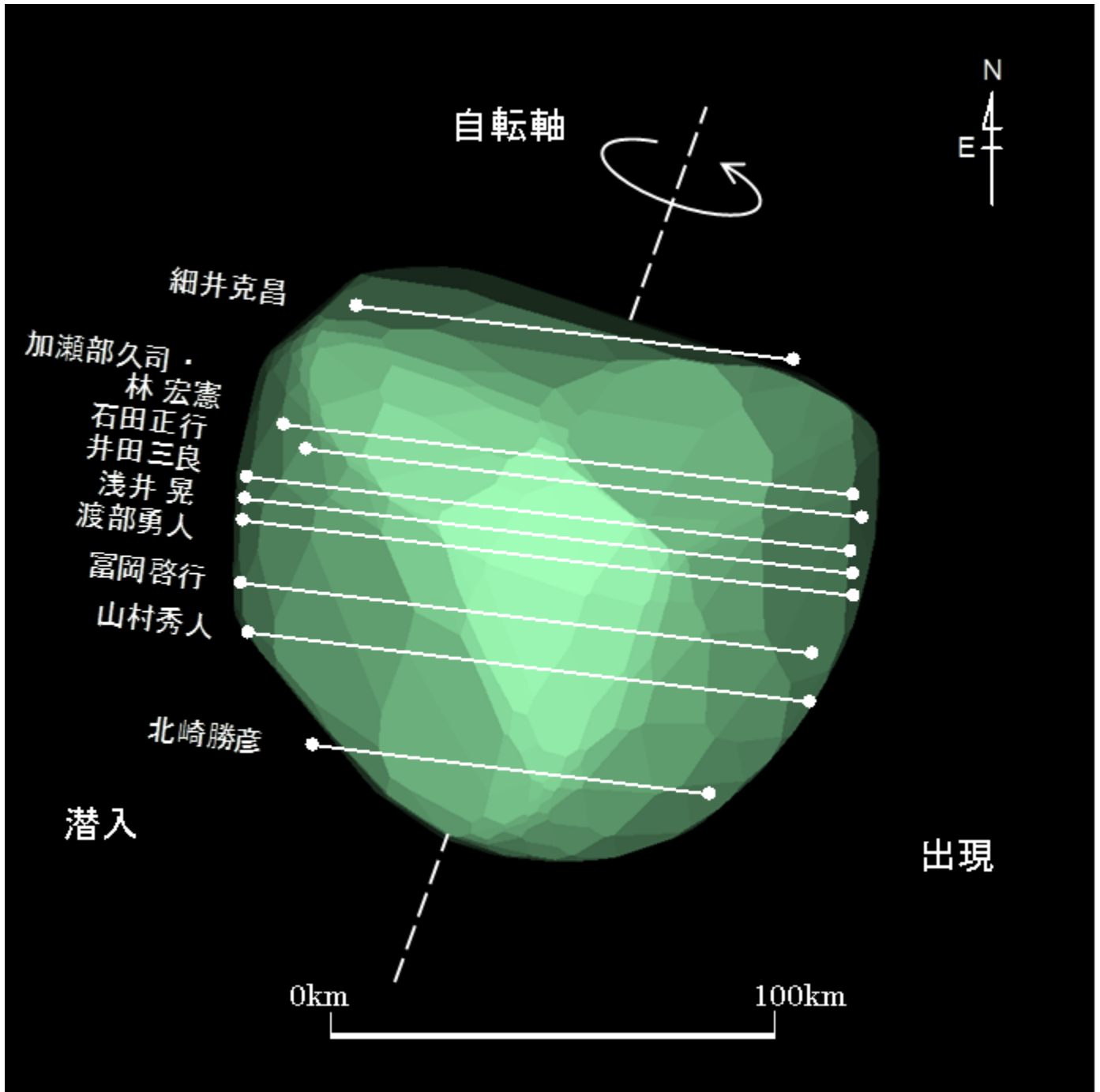


図6 (159) Aemilia 2021年11月23日 9h26m27s UT DAMIT Model 1869 ($\lambda = 139$ 、 $\beta = +68$) $\times 1$
 $P = 340^\circ$ 、 $\beta_e = +19^\circ$ 、 $\lambda_e = +164^\circ$ 、Scale Factor 1: 0.98、 $k = 0.986$ 、 $B = 259.5^\circ$

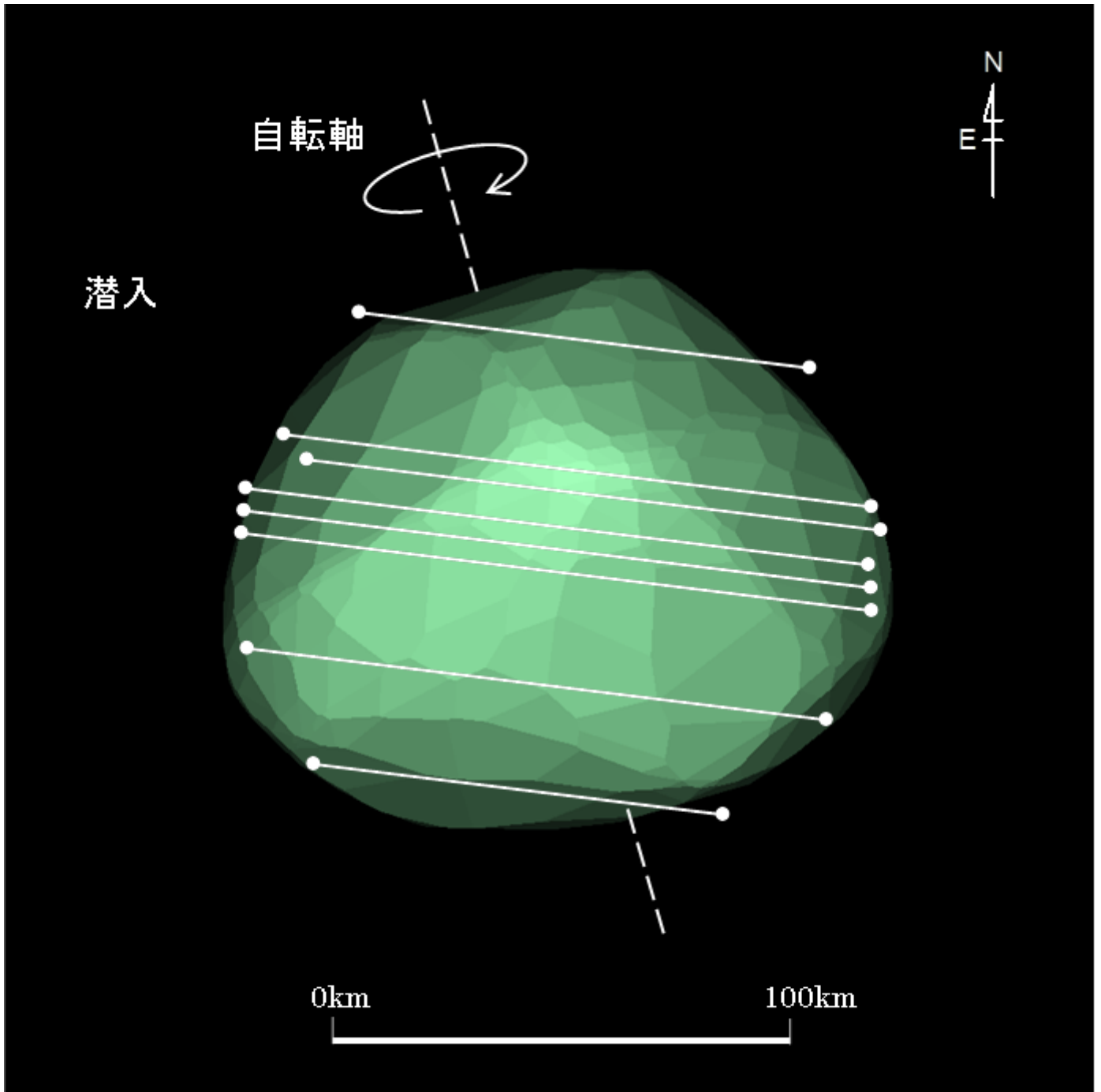


図7 (159) Aemilia 2021年11月23日 9h26m27s UT DAMIT Model 1870 ($\lambda = 348$, $\beta = +59$) $\times 1$
 $P = 16^\circ$, $\beta_e = -18^\circ$, $\lambda_e = +22^\circ$, Scale Factor 1: 0.95, $k = 0.986$, $B = 259.5^\circ$

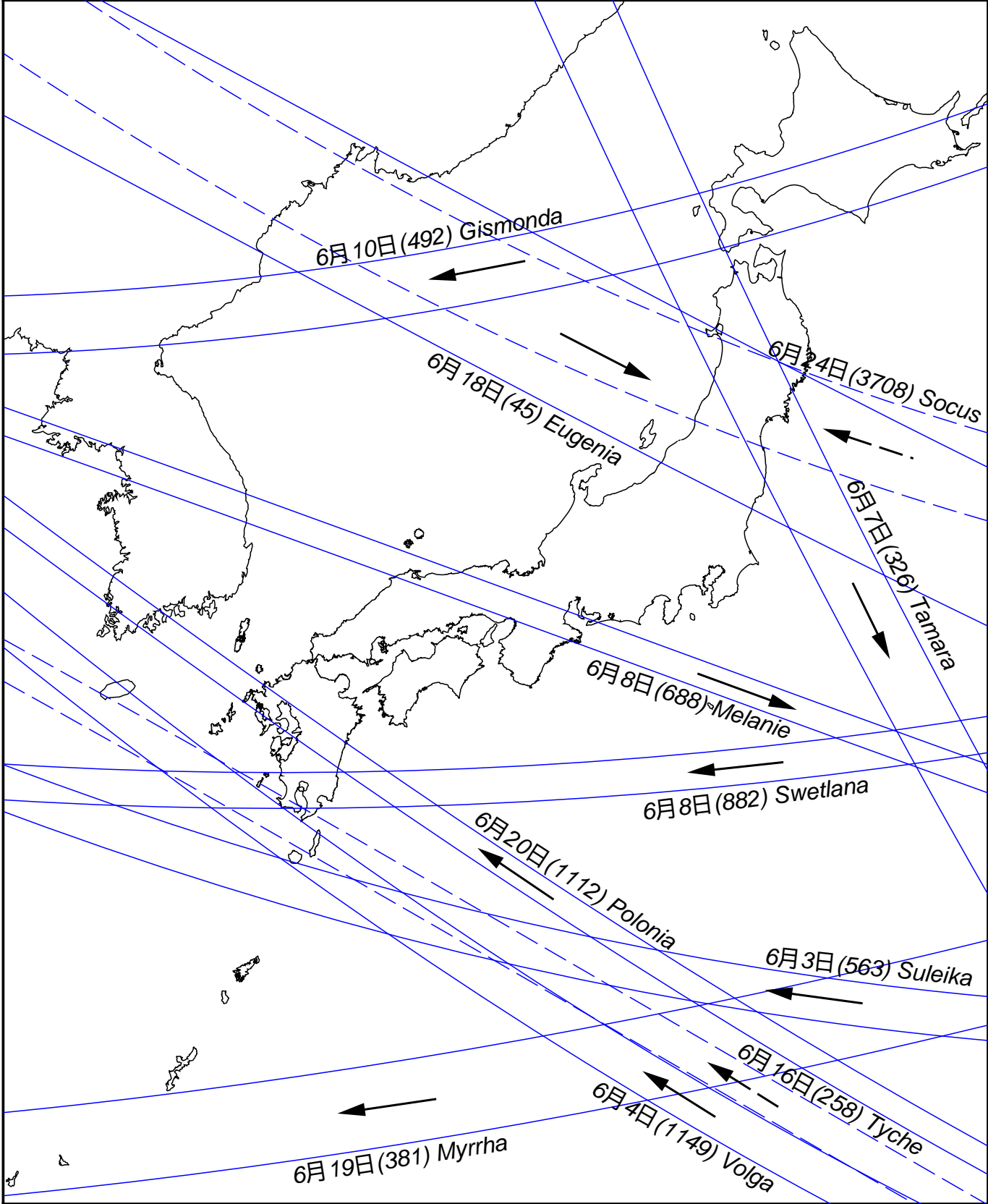


図8 小惑星による主な掩蔽帯経路 (S.Preston初期予報ほか) 2022年6月
 矢印は影の移動方向を示す

図9 2022年6月 日本を通る主な星食限界線

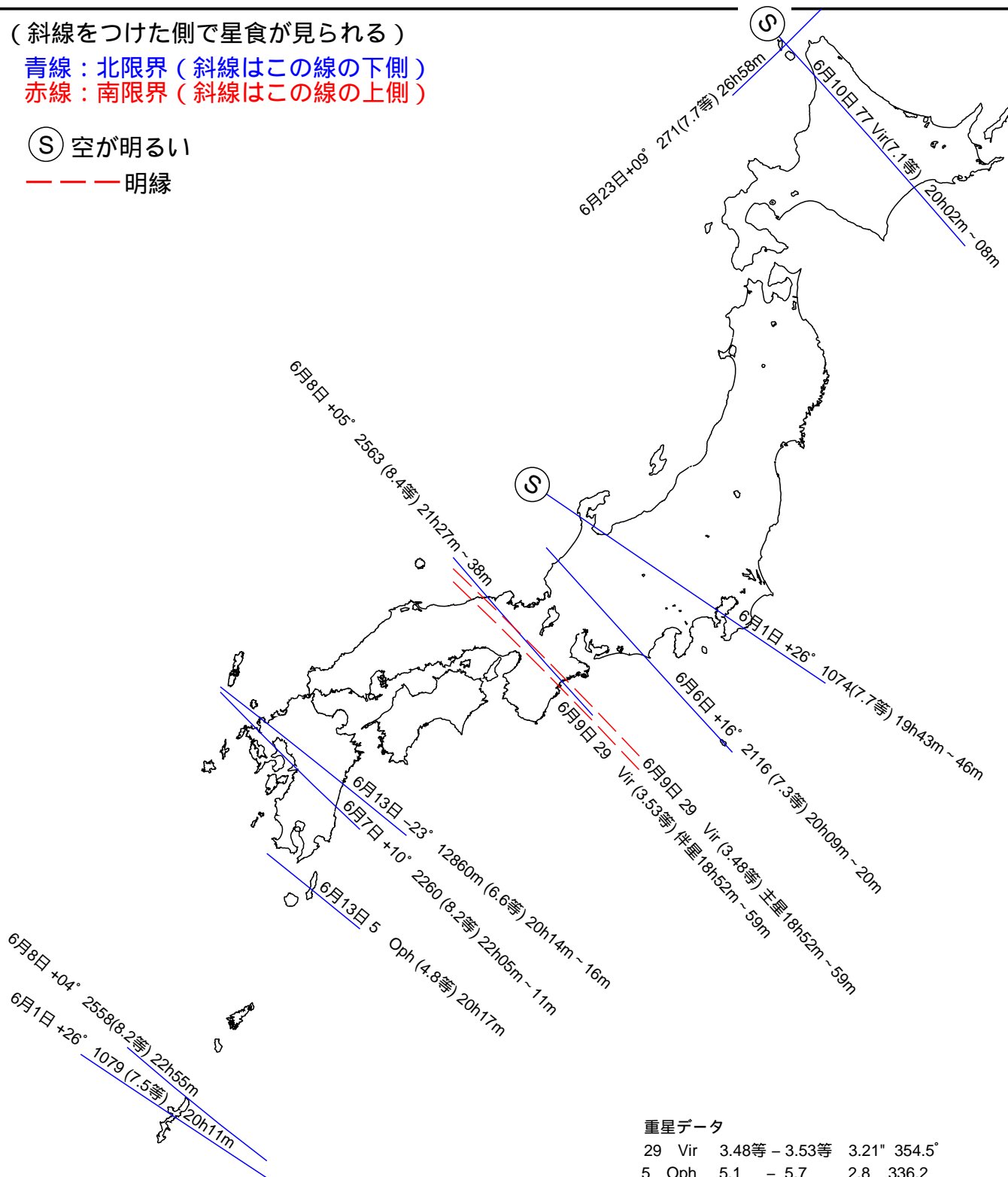
(斜線をつけた側で星食が見られる)

青線：北限界 (斜線はこの線の下側)

赤線：南限界 (斜線はこの線の上側)

Ⓢ 空が明るい

--- 明縁



重星データ

| | | | | |
|----|-----|---------------|-------|--------|
| 29 | Vir | 3.48等 - 3.53等 | 3.21" | 354.5° |
| 5 | Oph | 5.1 - 5.7 | 2.8 | 336.2 |